

東北大学 正員 松本順一郎
同 学生員 原田秀樹

1. はじめに。

本実験は活性汚泥のような好気性地栄養型混合微生物系の生態学的構造と、増殖動力学面から解明し、微生物相の人为的制御の基礎的情報を得る為、行なわれた実験的研究である。

2. 実験装置および実験方法

実験装置は連続型完全混合槽(逐次なし)で、図-1に概略を示す。基質組成はグルコースを单一の炭素源とし、流入濃度4000(mg/l)と1000(mg/l)の、2つの系で行なった。後者は表-1の1/4の規模である。実験パラメーターとして、希釈率 $D(\text{hr}^{-1})$ (すなわち、平均細胞滞留時間の逆数)を各段階に設定して連続定常実験を行ない、その系に適応した微生物を選択した。また各連続RUN毎りで、分離された微生物相の増殖パラメーターを求めた為、回分実験を行なった。槽内の分析試料は、0.45 μm メンブレン・フィルターで通過したもの用いた。分析方法としては、CODは重クロム酸カリ法、炭水化物はアヌロン法(グルコース還元量で表示)、 $\text{NH}_4\text{-N}$ はインドフェノール法、呼吸速度は電極法用いた。なおMLSSは、OD 660 $\text{m}\mu\text{m}$ による光学的方法と、AP 40メンブレン・フィルターによる重量法と併用した。水温は20±2°C、空気吹込倍率は約1.0 ($\text{l/min}/\text{min}$)で制御した。供試種汚泥は前述のグルコース流入濃度1000(mg/l)で、自然過式曝気槽で長期間飼養したものを用いた。

3. 実験結果および考察

連続定常実験における、槽内のCOD、炭水化物、MLSSの経時変化の一例を図-2に示す。各連続RUNは、少なくとも平均滞留時間の7倍以上の期間繰り返され、定常状態が確認されてから、回分実験に植種した。

図-3は、各連続定常槽に対する希釈率の影響を示したものである。有機物濃度をCODおよび炭水化物で追跡したので、グルコース以外のCOD物質を代謝生産物とすると、流入濃度4000(mg/l)系、1000(mg/l)系とともに希釈率が大きくなるに従い、生産物生成速度も大きくなる。またその影響の大きさは、流入濃度に依存している。比呼吸速度は希釈率に対して、ほぼ線形的関係を示しているが、その傾き(酸素に対する真の増殖収率)は、流入濃度に依存し、1000系は4000系の約半分程度である。

次に有機物の形態変化について、酸素バランスをとると次式を得る。

glucose	$C_6H_{12}O_6$	4000	%
NH_4Cl		784	mg/l
Na_2HPo_4		1136	mg/l
KH_2PO_4		968	mg/l
$\frac{C}{N}$		1600	mg/l
		205	mg/l

TAB-1 基質組成

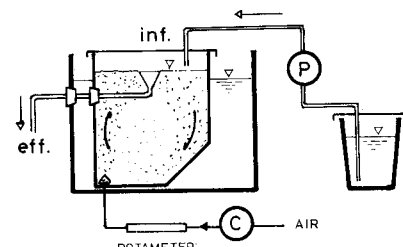


FIG. 1 連続培養装置

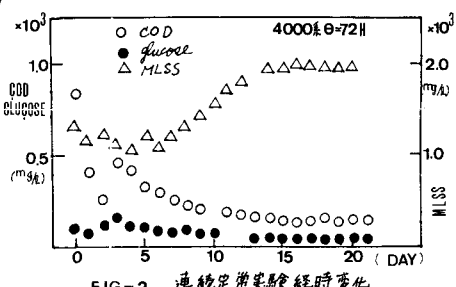


FIG. 2 連続定常実験経時変化

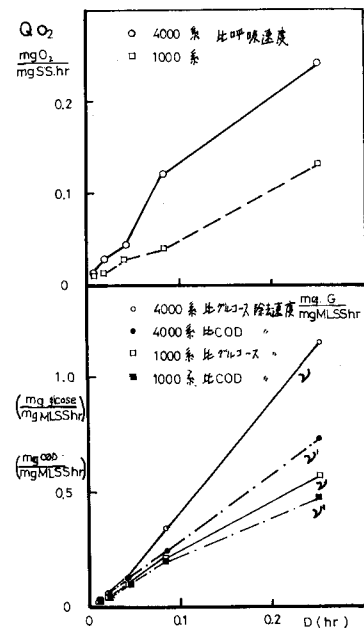


FIG. 3 希釈率-比速度

$$A(-\Delta S) = B(\alpha X) + \Delta O_2 + \Delta P$$

$$\text{変形して}, \quad 1 = \frac{\beta}{A} Y_{X_1} + \frac{Y_{O_2}}{A} + \frac{Y_P}{A} \dots \dots \text{①}$$

A; 基質の TOD (gO₂/g.subst)

B; 生物の TOD (gO₂/g.MLSS)

ΔS (g.subst), ΔX (g.MLSS/g), ΔP (g.COD product/g)

右辺で1項は、基質が生物体構成素材に転換した割合(α)、第2項は基質が酸化された割合(β)、第3項は代謝生産物に転換した割合(γ)である。

①式に基づいて、連続定常値から求めた α , β , γ を図-4に示した。

4000系、および1000系とともに、高希釈率の系では利用された基質総量のうち同化にまわる割合(α)は小さく、代謝生産物にまわる割合(γ)が大きくなっている。また、流入濃度の低い系の方が、酸化された基質の割合(β)が低くなっている。図-5は単位生物量が増殖する際の総ケルコース利用量($\frac{dx}{dt}$)=1/y_{DS}の内訳を示したものである。4000系では、希釈率の高い系ほど、総ケルコース利用量が大きくなる。しかし、単位生物量あたりの同化、異化に必要なケルコース量は、各希釈率で一定となる。また、1000系では、ほぼy_{DS}は一定である。代謝生産物の蓄積のみられた高希釈率の系では、培養液が高粘性を示し、pHの低下もかなりみられた。

次に連続定常実験で各希釈率に対する優占種となつた生物相の増殖パラメーターの評価について示す。図-6は回分実験例である。初期基質濃度を連続実験と同一とした。生物増殖はMonodモデルに従う(自己分解係数K_d(hr⁻¹)を考慮する)と仮定すると、

$$\frac{1}{X} \frac{dX}{dt} = \frac{\mu_m S}{K_s + S} - K_d$$

上式を差分形に変形して

$$\frac{X \cdot S \cdot \Delta t}{\Delta X + K_d X \cdot \Delta t} = (\frac{1}{\mu_m}) S + K_d \frac{S}{\mu_m} \dots \dots \text{②}$$

μ_m : 最大比増殖速度 (hr⁻¹)
 K_s : 饉和定数 (mg.glucose/l)
 X : 生物濃度 (mg.MLSS/l)
 S : 基質" (mg.glucose/l)

K_dは回分実験増殖終了後のMLSS減少速度から求めた値を代入して、図-7のLineweaver-Burk's Plotから μ_m , K_s が求められる。なおパラメーター評価は各回分RUNとも、lagを考慮した。1000系の各分離生物相の増殖特性を表-2に示す。また $\theta=4$ hrと72 hrの場合を図-8に示す。 μ_m と K_s の間に正の相関性が示され、また、 μ_m , K_s とともに希釈率が大きくなるに従って増大する。4000系では、高希釈率の系で代謝生産物蓄積の為 K_s の評価値が大きめに出ているが、同様の傾向を示した。このことから、本実験の条件下では、希釈率は混合微生物相の優占生物相を決定する大きな因子であるといえる。なお、高希釈率の系では、分散増殖であり、低希釈率の系では、糸状菌が優占種であった。

4. おわりに。 本実験で得られた知見をまとめると、

(i) 希釈率と分離生物相の μ_m , K_s の間に、正の相関性がある。

(ii) μ_m , K_s の大きい生物相は多量の代謝

生産物を生成する。 (iii) 単位生物増殖

当たりの消費酸素量は、増殖速度よりも流入濃度に影響される。

最後に、本研究に御協力いただいた當時東北大学学生高尾治海、吉田郁夫両君に深

謝いたします。(参考文献) (1) 合著永井“生物化学工学”(科学技術社) (2) CHIU et al Biotech & Bioengi 14, 179, 1972

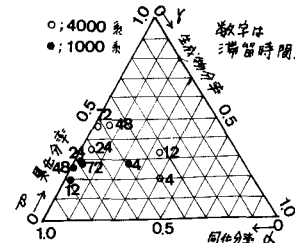


FIG-4 希釈率の炭素源転換率への影響

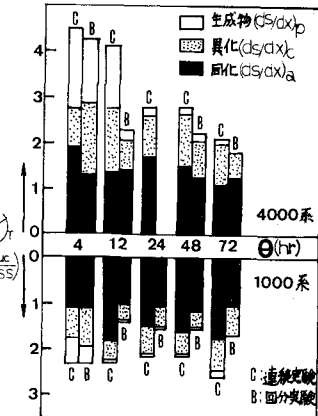


FIG-5 希釈率の収率への影響

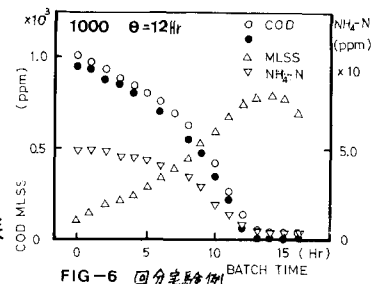


FIG-6 回分実験例

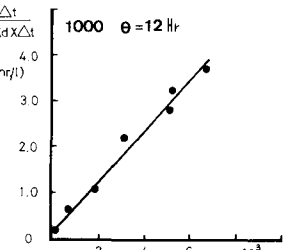


FIG-7 Lineweaver-Burk's Plot

希釈率θ(hr)	4	12	24	48	72
滞留時間(hr)	0.250	0.083	0.0417	0.0208	0.0139
μ_m (hr ⁻¹)	0.338	0.110	0.136	0.151	0.152
K_s (mg.glucose/l)	251	50.0	22.1	33.4	3.5
K_d (hr ⁻¹)	0.025	0.033	0.060	0.0281	0.0255

